

参考文献

[1] Zoghbi WA, Adams D, Bonow RO, et al. Recommendations for noninvasive evaluation of native valvular regurgitation: a report from the American Society of Echocardiography Developed in Collaboration with the Society for Cardiovascular Magnetic Resonance[J]. J Am Soc Echocardiogr, 2017, 30(4):303.

[2] Hahn RT, Meduri CU, Davidson CJ, et al. Early feasibility study of a transcatheter tricuspid valve annuloplasty [J]. J Am Coll Cardiol, 2017, 69(14):1795-1806.

[3] Webb JG, Mack MJ, White JM, et al. Transcatheter aortic valve implantation within degenerated aortic surgical bioprostheses: PARTNER 2 valve-in-valve registry [J]. J Am Coll Cardiol, 2017, 69(18):2253-2262.

[4] Sedaghat A, Sinning JM, Utzenrath M, et al. Hydrodynamic performance of the medtronic core valve and the edwards SAPIEN XT transcatheter heart valve in surgical bioprostheses: an invitro valve-in-valve model[J]. Ann Thorac Surg, 2016, 101(1):118-124.

[5] 张贵灿. 现代超声心动图[M]. 福州: 福建科学技术出版社, 2009: 220-223.

[6] Karaca O, Omaygen MO, Cakal B, et al. Effect of QRS narrowing after cardiac resynchronization therapy on functional mitral regurgitation in patients with systolic heart failure [J]. J Am Coll Cardiol, 2016, 117(3):412-419.

[7] 冯晓轩. 特发性肺纤维化相关肺动脉高压的临床回顾分析[D]. 郑州: 郑州大学, 2017.

[8] Frédéric P, Teerapat Y, Wilson WM, et al. Impact of prosthesis patient mismatch on left ventricular myocardial mechanics after transcatheter aortic valve replacement [J]. J Am Heart Assoc, 2016, 5(2):e002866.

[9] Mentias A, Patel K, Patel H, et al. Prognostic utility of brain natriuretic peptide in asymptomatic patients with significant mitral regurgitation and preserved left ventricular ejection fraction [J]. J Am Coll Cardiol, 2016, 117(2):258-263.

[10] 黎爱峰, 贺红丽, 薛朝阳, 等. 1792例左心疾病相关肺动脉高压的临床特征分析[J]. 宁夏医学杂志, 2016, 38(12):1159-1161.

[11] 李靖. 超声心动图诊断要点[M]. 北京: 人民军医出版社, 2012:432-435.

[12] 成瑞明, 徐静, 孙雅丽, 等. 超声心动图诊断肺动脉高压的临床探讨[J]. 当代医学, 2012, 18(36):70-71.

[13] 吴积新. 超声心动图对肺动脉高压的诊断价值[J]. 临床超声医学杂志, 2014, 16(4):274-276.

(收稿日期:2019-02-06)

· 病例报道 ·

# Ultrasonic diagnosis of papillary thyroid carcinoma in child : a case report 超声诊断儿童甲状腺乳头状癌 1 例

舒启沛 覃折波 郭燕丽

[中图法分类号]R445.1;R736.1

[文献标识码]B

患儿男, 13岁, 1年前无意中发发现颈部包块, 无明显不适, 未行任何治疗。近2个月自觉包块增大, 无疼痛。超声检查: 甲状腺形态饱满, 包膜清晰, 回声不均匀, 甲状腺左右叶及峡部内可见密集分布的点状强回声(图1)。超声提示: 甲状腺稍肿大, 回声不均匀, 左右叶及峡部内点状强回声, 考虑弥漫硬化型甲状腺乳头状癌。行甲状腺穿刺活检, 病理结果: 左侧甲状腺乳头状癌。后行手术治疗: 左侧甲状腺腺叶切除+左侧喉返神经探查+左上甲状腺旁腺左胸锁乳突肌移植术。术后病理证实为左侧甲状腺乳头状癌。

讨论: 儿童甲状腺癌具有癌肿增长速度快、颈部淋巴结转移早等特点。儿童甲状腺癌的发病原因尚不清楚, 大部分与放射性物质影响和长期过量的促甲状腺激素刺激等有关。本例患儿甲状腺形态饱满, 回声不均匀, 甲状腺左右叶及峡部内可见密集分布的点状强回声, 超声图像特征符合弥漫硬化型甲状腺乳头状癌。弥漫硬化型甲状腺乳头状癌为甲状腺乳头状癌的特殊类

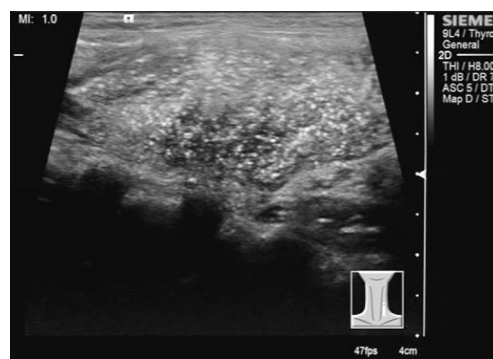


图1 声像图示甲状腺形态饱满, 回声不均匀, 甲状腺内可见密集分布的点状强回声

型, 较一般乳头状癌侵袭性强, 转移早, 预后差。掌握其典型声像图特征有助于临床及早检出该病, 对改善患者预后意义重大。

(收稿日期:2018-12-30)

基金项目: 第三军医大学第一附属医院重大领域技术创新项目(SWH2016ZDCX4101)

作者单位: 400038 重庆市, 陆军军医大学第一附属医院超声诊断科

通讯作者: 郭燕丽, Email: guoyanli71@aliyun.com